



## بررسی برهمکنش‌های بین مولکولی در ساختار بلوژ ۱-فنیل-۲-اتان‌دی‌آل

رحمان بیکس<sup>۱\*</sup>، مرضیه السادات امامی<sup>۲</sup>، آننا کوزاکیبیوج<sup>۳</sup>

۱- گروه شیمی، دانشکده علوم پایه، دانشگاه بین‌المللی امام خمینی، قزوین، ایران

۲- گروه شیمی، دانشکده علوم، دانشگاه زنجان، زنجان، ایران

۳- گروه بلوژ شیمی و بیوبلوژ شناسی، دانشکده شیمی، دانشگاه نیکلاس کوپنیک، ۱۰۰-۱۷ تورون، لهستان

(دریافت مقاله: ۹۷/۱۱/۲۸، نسخه نهایی: ۹۸/۲/۱۶)

چکیده: ترکیب ۱-فنیل-۱ و ۲-اتان‌دی‌آل از واکنش آب کافت اپوکسی استایرن در محیط آبی تهیه شد. ترکیب مورد نظر با استفاده از طیف‌سنجی تبدیل فوریه فروسخ (FT-IR) و تشخیص مغناطیسی هسته (NMR) شناسایی شد و ساختار بلوژ آن به روش پراش پرتو ایکس تعیین شد. اطلاعات بلوژ شناسی این ترکیب در دمای ۲۹۳ کلوین جمع آوری شدند. این ترکیب در سیستم بلوژ سه میل و گروه فضایی  $\bar{P}1$  متبلور شده است. پارامترهای یاخته یکه آن عبارتند از  $\alpha = ۱۱۷/۵۸۴(۱۴)^{\circ}$ ،  $\beta = ۹۰/۰۴۷(۱۴)^{\circ}$ ،  $\gamma = ۹۹/۳۲۲(۱۳)^{\circ}$ . واحد بی‌تقارن ساختار بلوژ این ترکیب شامل چهار مولکول ۱-فنیل-۱-اتان‌دی‌آل است که از طریق برهمکنش‌های پیوند هیدروژنی قوی و برهمکنش‌های  $C-H \cdots \pi$  باهم در ارتباط هستند. پیوندهای هیدروژنی بین مولکولی  $O \cdots O$  و  $C-H \cdots O$  در ساختار این ترکیب موجب ایجاد یک شبکه فرازده‌ای شده است.

واژه‌های کلیدی: ۱-فنیل-۱ و ۲-اتان‌دی‌آل؛ ساختار بلوژ؛ پیوندهای هیدروژنی؛ چندشکلی جدید.

دی‌آل) که ساده‌ترین ترکیب این گروه است به عنوان ماده خام در تولید الیاف پلی استر و همچنین به عنوان افزودنی ضدجوش و ضدیخ در سیستم خنک کننده خودروها به کار می‌رود و ماده‌ای پرکاربرد در فرآیند یخ‌زدایی از سطوح هوایی است [۵، ۶]. بدون شک، تشکیل پیوندهای هیدروژنی قوی بین گروه‌های OH آب و اتیلن گلیکول نقش مهمی در کاهش دمای انجماد و افزایش دمای جوش دارد. این امر بررسی برهمکنش‌های پیوند هیدروژنی در دی‌آل‌ها را به یکی از موضوعات جذاب پژوهشی تبدیل کرده است. با این وجود، به دلیل مایع بودن بیشتر دی‌آل‌های ساده و نداشتن تک بلور مناسب از آنها، برهمکنش‌های پیوند هیدروژنی در شبکه بلوژ این دسته از ترکیبات در حالت بلوری به ندرت بررسی شده است.

واکنش باز شدن حلقه‌های اپوکسید یک فرایند بسیار مهم

### مقدمه

دی‌آل‌ها یا گلیکول‌ها ترکیبات شیمیایی هستند که دو گروه هیدروکسیل (OH) در ساختار مولکولی خود دارند. در میان آنها، ۱-دی‌آل‌ها از اهمیت ویژه‌ای برخوردار هستند، زیرا توانایی تبدیل شدن برخی مولکول‌های بسیار جالب را دارند و همچنین زیر مجموعه بسیاری از ترکیبات دارویی هستند [۱-۲]. ۱-دی‌آل‌ها در بیشتر مولکول‌های زیستی حضور دارند. کربوهیدرات‌ها و ترکیبات آنها (گلیکوپروتئین‌ها، ویتامین‌ها و نوکلئوتیدها)، استروئیدها مانند الکل‌های صفرایی، ماکرولیدها، اسپین‌گولاپییدها و ترپن‌وئیدها هم‌شامل یک گروه گلیکولی هستند [۳، ۴]. این ترکیبات به دلیل توانایی بالا در تشکیل پیوند هیدروژنی قوی با سایر مولکول‌ها، ویژگی‌های بسیاری از خود نشان می‌دهند و از این جهت کاربردهای متنوعی در صنعت پیدا کرده‌اند. به عنوان مثال، اتیلن گلیکول (۱-اتان

کاتالیزور مس (II) استفاده شد که این ترکیب با استفاده از روش گزارش شده پیشین تهیه گردید [۲۰]. طیف تبدیل فوریه فرو سرخ (FT-IR) ترکیب پس از خالص‌سازی و تهیه قرص KBr با استفاده از دستگاه Thermo مدل IS10 و Bruker ناحیه  $400\text{ cm}^{-1}$  تا  $4000\text{ cm}^{-1}$  ثبت شد. طیف تشحیض مغناطیسی هسته پروتون ( $^1\text{H}$  NMR) ترکیب با استفاده از دستگاه Bruker Avance 250 MHz در حلحل  $\text{CDCl}_3$  گرفته شد. تجزیه عنصری ترکیب با استفاده از دستگاه Perkin Elmer 2400 انجام شد. داده‌های پراش پرتو X تک بلور توسط دستگاه پراش سنج Oxford Sapphire CCD با پرتو  $\alpha K$  مولیبدن در دمای ۲۹۳ کلوین جمع آوری شد. ساختار بلوری ترکیب از روش مستقیم تعیین و اصلاح نتایج به روش حداقل مربعات ماتریس کامل بر پایه  $F^2$  با نرم افزار SHELLX-2015 انجام شد [۲۱]. برای تهیه تصاویر از نرم افزار دیاموند استفاده شده است [۲۲].

فایل اطلاعات بلورشناسی (CIF) در مرکز داده‌های بلورشناسی کمبریج (CCDC) با شماره 1856838 باشد. ترکیب از رسانیده و از وبگاه [www.ccdc.cam.ac.uk/conts/retrieving.html](http://www.ccdc.cam.ac.uk/conts/retrieving.html) به طور رایگان قابل دریافت است.

### تهیه فنیل-۲و-۱اتان‌دی‌آل

۱/۱۴ میلی لیتر استایرن‌اکسید (۱۰ میلی‌مول) به ۱۰ میلی لیتر آب مقطر اضافه شد. سپس به محلول به دست آمده مقدار ۰/۰۰۲ گرم کاتالیزور مس (II) اضافه گردید. مخلوط واکنش به مدت یک ساعت در دمای محیط به هم زده شد. سپس فاز آلی از طریق استخراج با اتیل استات (با ۱۰ میلی‌لیتر و ۳ مرتبه) جداسازی شد. تک بلورهای ماده حاصل از واکنش، با روش تبخیر آهسته حلحل در دمای محیط در مدت یک روز به دست آمدند. بلورهای سفید صفحه‌ای از محلول جدا شده و برای شناسایی و تعیین ساختار بلوری به وسیله پراش پرتو ایکس بررسی شدند.

### بحث و بررسی

#### بررسی داده‌های طیفسنجی

ترکیب مورد نظر با روش‌های طیفسنجی FT-IR و تشحیض مغناطیسی هسته (NMR) شناسایی شد. در طیف FT-IR ترکیب، نوار جذبی پهن ظاهر شده در  $3200\text{ cm}^{-1}$  مربوط به گروههای هیدروکسیل است. نوارهای جذبی مربوط به C-H حلقوی و زنجیری به ترتیب در ناحیه  $3060\text{ cm}^{-1}$  و

در تحولات شیمی آلی است و در شیمی مواد دارویی و طبیعی کاربرد بسیاری دارد. باز شدن حلقه اپوکسید با واکنش گرهای مختلف یک راهکار راحت و بسیار کاربردی برای سنتر طبقات مهم واسطه‌ها در شیمی آلی است. باز شدن حلقه اپوکسید با آب در حضور کاتالیزورهای مختلف باعث تولید ۱-۲-دی‌آل‌ها می‌شود [۶-۷]. ۱-فنیل-۲و-۱اتان‌دی‌آل که استایرن گلیکول نیز نامیده می‌شود یک دی‌آل شامل حلقة معطر فنیل است که می‌توان آن را از واکنش باز شدن حلقة اپوکسید در محیط آبی از پیش ماده استایرن اپوکسید ترکیب تهیه کرد. این ماده می‌تواند یکی از مواد مهم در بررسی برهم‌کنش‌های بین مولکولی ۱-۲-دی‌آل‌ها باشد. با این حال، بررسی مراجع علمی و مرکز داده‌های بلورشناسی کمبریج (CCDC) نشان می‌دهد که پژوهشی پیرامون برهم‌کنش‌های بین مولکولی در ساختار این ماده انجام نشده است. ساختار بلوری این ماده در سال ۲۰۰۴ توسط ردر و ویکت (با کد ساختاری YAJQUW، شماره ۷۹,۸۶(۰) و پارامترهای یاخته یکه  $\alpha = 89,56(0)^{\circ}$ ,  $\beta = 79,86(0)^{\circ}$ ,  $c = 15,296(1)\text{\AA}$ ) و در سال ۲۰۰۶ توسط CCDC (با کد ساختاری YAJQUW01، شماره Nieger ۸۹,۵۹(۰) و پارامترهای یاخته یکه  $\alpha = 89,59(0)^{\circ}$ ,  $\beta = 79,75(0)^{\circ}$ ,  $c = 15,297(3)\text{\AA}$ ) به صورت فایل گزارش شخصی<sup>۱</sup> به مرکز CCDC ارسال شده و گزارش دیگری در این رابطه به چاپ نرسیده است. در هر دو گزارش، ترکیب در شبکه بلوری سه میل و گروه فضایی  $P\bar{1}$  متبلور شده است. در این پژوهش، داده‌های بلورشناسی نشان می‌دهند که ترکیب ۱-فنیل-۲و-۱اتان‌دی‌آل می‌تواند در شبکه بلوری سه میل با پارامترهای یاخته یکه متفاوتی نیز متبلور شود که تا به حال برای آن گزارش نشده است. با توجه به اهمیت برهم‌کنش‌های بین‌مولکولی در بررسی‌های بلورشناسی [۱۰-۱۷] و در بررسی دارویی [۱۸، ۱۹]، برهم‌کنش‌های بین‌مولکولی در شبکه بلوری این ترکیب بررسی می‌شود.

### روش تجربی

همه مواد مورد نیاز با خلوص تجزیه‌ای از شرکت مرک خریداری شده و بدون هیچ گونه خالص‌سازی مورد استفاده قرار گرفتند. از پلیمر کوئوردیناسیونی مس (II)-هیدرازون به عنوان

**بررسی داده‌های پراش سنجی**  
بلورهای سفید ترکیب ۱-فنیل-۲-اتان‌دی‌آل با استفاده از پراش پرتو ایکس در دمای ۲۹۳ کلوین تعیین ساختار شدند. یاخته یکه، داده‌های بلورشناسی و برخی از طول پیوندها و زوایای پیوندی به ترتیب در جدول‌های ۱ و ۲ آورده شده است. بررسی ساختار بلوری این ماده نشان می‌دهد که ترکیب ساختار بلوری سه میل و گروه فضایی  $\bar{P1}$  متبلور شده است. در سیستم بلوری سه میل و گروه فضایی  $\bar{P1}$  متبلور شده است. در واحد بی‌تقارن این ترکیب نیز در شکل ۱ الف نمایش داده شده است. بررسی ساختار بلوری این ماده نشان می‌دهد که ترکیب در سیستم بلوری سه میل و گروه فضایی  $\bar{P1}$  متبلور شده است. با هشت مولکول نیز در شبکه یاخته یکه آن متبلور شده است. با اینکه طول‌ها و زوایای پیوندی در این چهار مولکول به هم بسیار نزدیک هستند، تفاوت اندکی در مقادیر آنها وجود دارد. بنابراین، این مولکول‌ها با نام‌های A، B، C، و D شماره‌گذاری شده‌اند و شماره اتم‌ها در آنها یکسان شماره‌گذاری شده‌اند.

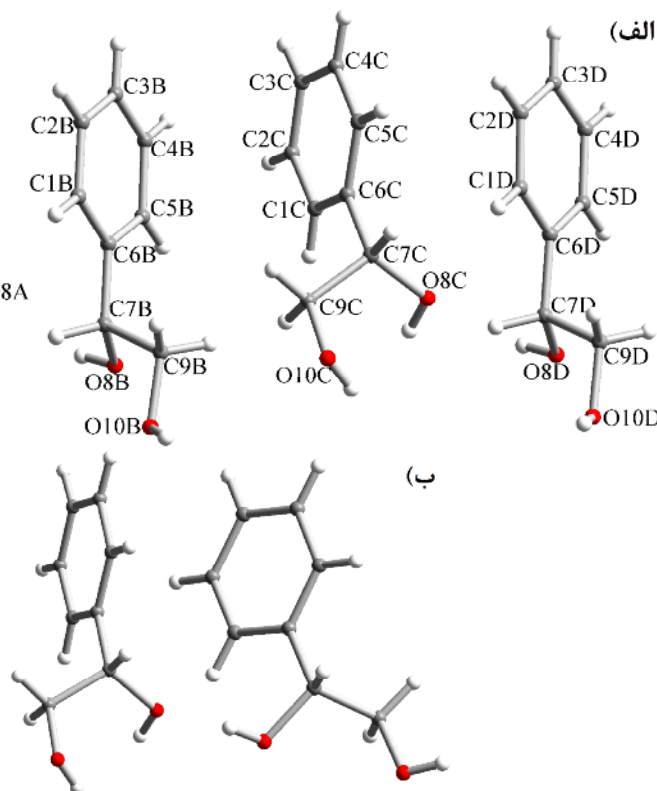
$\text{cm}^{-1}$  ۲۹۳۲  $\text{cm}^{-1}$  ظاهر شده‌اند. نوارهای پر شدت در گستره‌ی ۱۴۹۳  $\text{cm}^{-1}$  تا ۱۴۶۹  $\text{cm}^{-1}$  ناشی از ارتعاشات کششی  $\text{C}=\text{C}$  حلقه معطر است. ارتعاشات خمشی خارج از صفحه‌ی حلقه فنیل نیز در گستره ۸۹۷  $\text{cm}^{-1}$  تا ۶۹۹  $\text{cm}^{-1}$  ظاهر شده‌اند. ترکیب بدست آمده با استفاده از تجزیه عنصری نیز بررسی شد. درصدهای تجزیه عنصری ترکیب  $(\text{C}_8\text{H}_{10}\text{O}_2)$  شامل٪۶۹/۵۴ (کربن)،٪۷/۳۰ (هیدروژن) و٪۲۳/۱۶ (اکسیژن) بودند. درصدهای محاسبه شده فراورده برابر با٪۶۸/۹۵ (کربن)،٪۷/۰۲ (هیدروژن) و٪۲۳/۲۶ (اکسیژن) است. چنان‌که دیده می‌شود، همخوانی خوبی بین داده‌های تجزیه و محاسبه شده وجود دارد. سیگنال‌های ظاهر شده در طیف  $\text{H}^1$  NMR ترکیب بر حسب ppm در حلول کلروفرم دوتره عبارت بودند از ۴/۸۶-۴/۸۱ ( $\text{m}, \text{CH}_2$ )، ۷/۴۴-۷/۲۹ ( $\text{m}, 7\text{H}, \text{aromatic}$ ) و ۳/۸۰-۳/۶۳ ( $\text{m}, \text{CH}$ ).

جدول ۱ داده‌های بلورشناسی ۱-فنیل-۲-اتان‌دی‌آل و مقایسه آنها با گزارش‌های پیشین در مرکز داده‌های بلورشناسی کمبریج.

| ۱-فنیل-۲-اتان‌دی‌آل                  | گزارش حاضر<br>شماره ۱۸۵۶۸۳۸ CCDC                                     | YAJQUW   | YAJQUW01<br>شماره ۶۱۲۰۱۱ CCDC  |
|--------------------------------------|--|--|--|
| فرمول مولکولی                        | $\text{C}_8\text{H}_{10}\text{O}_2$                                  | $(\text{C}_8\text{H}_{10}\text{O}_2)_2$                                | $\text{C}_8\text{H}_{10}\text{O}_2$                                    |
| وزن مولکولی (گرم بر مول)             | ۱۳۸/۱۶   | ۲۷۶/۳۲   | ۱۳۸/۱۶   |
| اندازه بلور (میلی‌متر مکعب)          | ۰/۰۵۰×۰/۱۵×۰/۰۲۵   | ۰/۱۲×۰/۱۷×۰/۰۷۰  | ۰/۲۹×۰/۱۸×۰/۰۹   |
| شكل و رنگ بلور                       | صفحه‌ای، بی‌رنگ  | سوژنی، بی‌رنگ  | صفحه‌ای، بی‌رنگ  |
| سیستم بلوری                          | سه میل   | سه میل   | سه میل   |
| گروه فضایی                           | $\bar{P1}$   | $\bar{P1}$   | $\bar{P1}$   |
| $a (\text{\AA})$                     | ۵/۹۸۳۷(۴)  | ۵/۹۸۷۴(۱۲)   | ۶/۰۲۷۴(۱۰)   |
| $b (\text{\AA})$                     | ۷/۹۱۵۲(۷)  | ۷/۹۳۷۵(۱۸)   | ۱۶/۲۰۴(۲)  |
| $c (\text{\AA})$                     | ۱۵/۲۹۶۵(۱۳)  | ۱۵/۲۹۷(۳)  | ۱۳/۳۴۵(۲)  |
| $\alpha (^{\circ})$                  | ۸۹/۵۵۷(۳)  | ۸۹/۶۱۳(۴)  | ۱۱۷/۵۸۴(۱۴)  |
| $\beta (^{\circ})$                   | ۷۹/۸۶۴(۴)  | ۷۹/۷۵۲(۴)  | ۹۹/۳۲۲(۱۳)   |
| $\gamma (^{\circ})$                  | ۸۹/۴۱۴(۵)  | ۸۹/۵۹۳(۴)  | ۹۰/۰۴۷(۱۴)   |
| حجم یاخته یکه ( $\text{\AA}^3$ )     | ۷۱۳/۱۲(۱۰)   | ۷۱۵/۴(۳)   | ۱۴۷۶/۱(۴)  |
| تعداد مولکول در یاخته                | ۴  | ۲  | ۸  |
| $\text{g.cm}^3$                      | ۱/۲۸۷  | ۱/۲۸۳  | ۱/۲۴۳  |
| دما (کلوین)                          | ۱۲۲  | ۱۵۳  | ۲۹۳  |
| مقادیر a                             | $h = -6 \rightarrow 7, k = -7 \rightarrow 9, l = -18 \rightarrow 18$ | $h = -7 \rightarrow 7, k = -10 \rightarrow 10, l = -19 \rightarrow 19$ | $h = -6 \rightarrow 6, k = -18 \rightarrow 17, l = -18 \rightarrow 19$ |
| ضریب جذب                             | ۰/۰۹   | ۰/۰۹   | ۰/۰۹   |
| $F(000)$                             | ۲۹۶  | ۲۹۶  | ۵۹۲  |
| گستره $\theta$ برای جمع آوری داده‌ها | ۱-۲۵   | ۲۶-۲۷/۵  | ۲۴-۲۳/۴  |
| $R[F^2 > 2\sigma(F^2)]$              | ۰/۰۳۹  | ۰/۰۵۵  | ۰/۰۶۲  |
| $wR(F^2)$                            | ۰/۰۸۱  | ۰/۱۶۱  | ۰/۲۳۸  |
| $R_{\text{int}}$                     | ۰/۰۴۱  | ۰/۰۴۲  | ۰/۰۵۷  |
| تعداد پارامتر                        | ۱۹۳  | ۱۸۵  | ۳۶۴  |
| مجموع بازتاب‌های کل                  | ۴۹۱۷   | ۸۳۷۸   | ۷۴۰۶   |

جدول ۲ برخی از طول‌ها (بر حسب Å) و زوایای پیوندی (بر حسب درجه) در شبکه بلوری ترکیب ۱-فنیل-۱و-۲-اتان‌دی‌آل

| D         | طول در مولکول   | C         | طول در مولکول   | B         | طول در مولکول   | A | طول در مولکول   | پیوند |
|-----------|-----------------|-----------|-----------------|-----------|-----------------|---|-----------------|-------|
| ۱,۳۷۱(۹)  | ۱,۳۵۹(۱۰)       | ۱,۳۶۹(۱۰) | ۱,۳۵۴(۱۱)       | C1—C2     |                 |   |                 |       |
| ۱,۳۷۷(۱۰) | ۱,۳۷۷(۱۱)       | ۱,۳۸۵(۹)  | ۱,۴۰۴(۱۰)       | C1—C6     |                 |   |                 |       |
| ۱,۳۷۶(۱۲) | ۱,۳۵۷(۱۰)       | ۱,۳۵۲(۱۱) | ۱,۳۵۵(۱۱)       | C2—C3     |                 |   |                 |       |
| ۱,۳۸۵(۱۰) | ۱,۳۶۴(۱۲)       | ۱,۳۵۸(۱۱) | ۱,۳۶۵(۱۲)       | C3—C4     |                 |   |                 |       |
| ۱,۳۶۲(۹)  | ۱,۳۷۸(۱۲)       | ۱,۳۹۹(۹)  | ۱,۳۸۲(۱۲)       | C4—C5     |                 |   |                 |       |
| ۱,۳۹۰(۱۰) | ۱,۳۸۹(۹)        | ۱,۳۹۶(۹)  | ۱,۳۷۷(۹)        | C5—C6     |                 |   |                 |       |
| ۱,۰۱۷(۹)  | ۱,۰۵۰۴(۱۰)      | ۱,۰۵۰۶(۹) | ۱,۰۵۱(۱۰)       | C6—C7     |                 |   |                 |       |
| ۱,۴۱۹(۸)  | ۱,۴۳۰(۸)        | ۱,۴۳۶(۸)  | ۱,۴۴۱(۸)        | C7—O8     |                 |   |                 |       |
| ۱,۴۹۸(۱۰) | ۱,۴۸۹(۸)        | ۱,۵۱۳(۱۰) | ۱,۴۹۵(۹)        | C7—C9     |                 |   |                 |       |
| ۱,۴۰۸(۷)  | ۱,۴۲۶(۸)        | ۱,۴۱۵(۸)  | ۱,۴۲۲(۸)        | C9—O10    |                 |   |                 |       |
| D         | زاویه در مولکول | C         | زاویه در مولکول | B         | زاویه در مولکول | A | زاویه در مولکول | پیوند |
| ۱۲۲,۲(۸)  | ۱۲۱,۱(۸)        | ۱۲۰,۴(۸)  | ۱۲۲,۰(۸)        | C2—C1—C6  |                 |   |                 |       |
| ۱۱۹,۸(۹)  | ۱۱۹,۹(۹)        | ۱۲۱,۰(۸)  | ۱۲۰,۵(۹)        | C3—C2—C1  |                 |   |                 |       |
| ۱۱۹,۲(۸)  | ۱۲۱,۲(۱۰)       | ۱۱۹,۸(۸)  | ۱۲۰,۳(۱۰)       | C2—C3—C4  |                 |   |                 |       |
| ۱۱۹,۷(۹)  | ۱۱۸,۸(۹)        | ۱۲۱,۴(۹)  | ۱۱۸,۹(۹)        | C3—C4—C5  |                 |   |                 |       |
| ۱۲۲,۴(۸)  | ۱۲۰,۹(۹)        | ۱۱۸,۲(۷)  | ۱۲۲,۶(۹)        | C6—C5—C4  |                 |   |                 |       |
| ۱۱۶,۷(۷)  | ۱۱۷,۹(۸)        | ۱۱۹,۲(۷)  | ۱۱۵,۵(۸)        | C5—C6—C1  |                 |   |                 |       |
| ۱۱۹,۵(۷)  | ۱۲۱,۴(۷)        | ۱۲۰,۶(۷)  | ۱۲۱,۷(۷)        | C5—C6—C7  |                 |   |                 |       |
| ۱۲۲,۹(۷)  | ۱۲۰,۷(۸)        | ۱۲۰,۲(۷)  | ۱۲۲,۷(۷)        | C1—C6—C7  |                 |   |                 |       |
| ۱۰۷,۴(۶)  | ۱۱۱,۵(۶)        | ۱۱۲,۱(۶)  | ۱۱۱,۹(۶)        | O8—C7—C9  |                 |   |                 |       |
| ۱۱۱,۱(۶)  | ۱۱۲,۲(۷)        | ۱۰۶,۷(۶)  | ۱۱۱,۱(۶)        | O8—C7—C6  |                 |   |                 |       |
| ۱۱۱,۳(۶)  | ۱۱۱,۶(۶)        | ۱۱۲,۸(۶)  | ۱۱۰,۴(۶)        | C9—C7—C6  |                 |   |                 |       |
| ۱۱۱,۴(۶)  | ۱۱۳,۶(۷)        | ۱۰۹,۵(۶)  | ۱۱۲,۳(۶)        | O10—C9—C7 |                 |   |                 |       |



شکل ۱ (الف) ساختار بلوری ترکیب ۱-فنیل-۱و-۲-اتان‌دی‌آل و (ب) شکل دو مولکول راست‌گرد و چپ‌گرد ۱-فنیل-۱و-۲-اتان‌دی‌آل که همزمان در شبکه بلوری ترکیب متبلور شده‌اند.

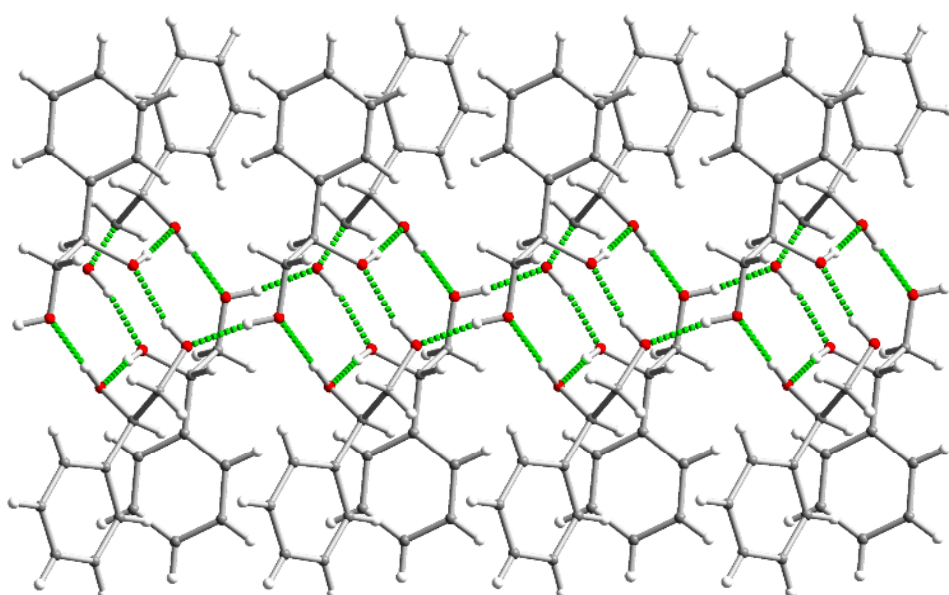
مجاور ( $O\cdots O$ ) وجود دارد که این پیوندهای هیدروژنی باعث تشکیل یک زنجیر پلیمری شده‌اند. داده‌های مربوط به برهمکنش‌های پیوند هیدروژنی ترکیب در جدول ۳ آورده شده است. زنجیر پلیمری بدست آمده از برهمکنش‌های پیوند هیدروژنی  $O\cdots O$  در شکل ۲ نشان داده شده است. این زنجیر از واحدهای تکرار شونده شامل دو مولکول با پیکربندی راست‌گرد و دو مولکول با پیکربندی چپ‌گرد ایجاد شده است.

بررسی ساختار ترکیب نشان می‌دهد که بلور در بردارنده مخلوط راسمیک این ماده است و هر دو ایزومر راست‌گرد و چپ‌گرد همزمان در شبکه بلوری متبلور شده‌اند که ساختار آنها در شکل ۱-ب مقایسه شده است. چنان که انتظار می‌رود، به دلیل وجود دو گروه هیدروکسیل در ساختار ترکیب، پیوندهای هیدروژنی بسیار قوی و جهت یافته در شبکه بلوری بین گروه‌های OH یک مولکول با اکسیژن گروه هیدروکسیل از مولکول

جدول ۳ اطلاعات پیوندهای هیدروژنی بین مولکولی در ساختار بلوری ۱-فنیل-۲-اتان‌دی‌آل

| $D-H\cdots A$                 | $D-H$ (Å) | $H\cdots A$ (Å) | $D\cdots A$ (Å) | $D-H\cdots A$ (Å) |
|-------------------------------|-----------|-----------------|-----------------|-------------------|
| O8A—H8AA…O10A                 | 0,۸۲      | ۲,۴۸            | ۲,۸۷۵(۷)        | ۱۱۱               |
| O8A—H8AA…O8B <sup>i</sup>     | 0,۸۲      | ۲,۴۷            | ۳,۲۷۹(۶)        | ۱۶۹               |
| O8A—H8AA…O10B <sup>i</sup>    | 0,۸۲      | ۲,۱۹            | ۲,۶۸۰(۶)        | ۱۱۹               |
| O10A—H10A…O8B <sup>i</sup>    | 0,۸۲      | ۱,۸۸            | ۲,۶۹۰(۷)        | ۱۶۹               |
| O8B—H8BA…O8A <sup>ii</sup>    | 0,۸۲      | ۱,۹۰            | ۲,۷۱۷(۷)        | ۱۷۸               |
| O10B—H10B…O10A <sup>iii</sup> | 0,۸۲      | ۱,۸۷            | ۲,۶۷۵(۷)        | ۱۶۵               |
| O8C—H8CA…O10D <sup>iv</sup>   | 0,۸۲      | ۱,۹۰            | ۲,۷۲۴(۶)        | ۱۷۹               |
| O10C—H10C…O8D <sup>iv</sup>   | 0,۸۲      | ۱,۸۸            | ۲,۶۸۵(۷)        | ۱۶۸               |
| O8D—H8DA…O8C <sup>ii</sup>    | 0,۸۲      | ۱,۸۹            | ۲,۷۱۰(۷)        | ۱۷۶               |
| O10D—H10D…O10C <sup>v</sup>   | 0,۸۲      | ۱,۹۲            | ۲,۶۶۸(۷)        | ۱۵۰               |

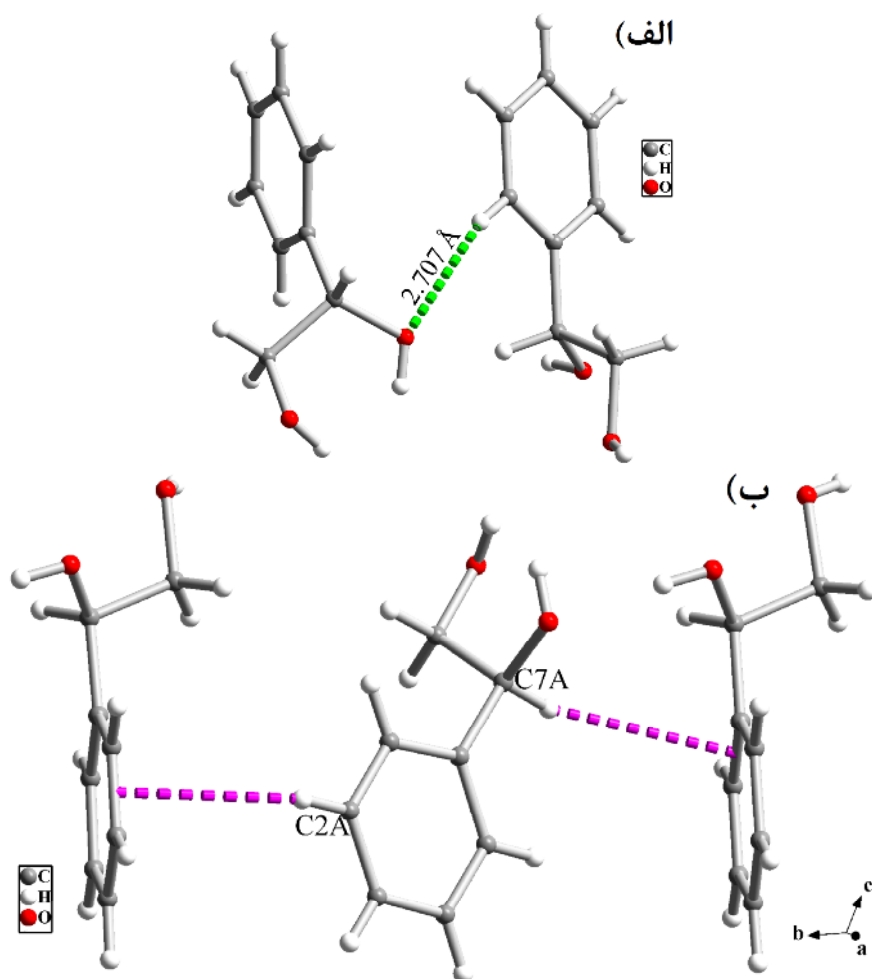
نکته‌ای تقارنی: (i)  $-x+1, -y+2, -z+1$ ; (ii)  $x-1, y, z$ ; (iii)  $-x+2, -y+2, -z+1$ ; (iv)  $-x+1, -y+1, -z+1$ ; (v)  $-x+2, -y+1, -z+1$ .



شکل ۲ برهمکنش‌های هیدروژنی  $O\cdots O$  و زنجیر پلیمری یکبعدی برآمده از آن در شبکه بلوری ۱-فنیل-۲-اتان‌دی‌آل

محسوب می‌شوند. مجموعه برهم‌کنش‌های بین مولکولی پیوند هیدروژنی و برهم‌کنش‌های  $\pi$  در این ترکیب نقش مهمی در پایداری ساختار بلوری ایفا می‌کنند. مقایسه شبکه بلوری این ترکیب با شبکه بلوری گزارش شده در مرکز داده‌های بلورشناسی کمبریج (جدول ۱) نشان می‌دهد که این ترکیب یک چندشکلی جدید است و پارامترهای یاخته یکه آن در مقایسه با گزارش‌های پیشین متفاوت و بزرگ‌تر است. افزون بر تفاوت در پارامترهای یاخته یکه، چهار مولکول از ترکیب در واحد بی‌تقارن این شبکه بلوری جدید وجود دارد در حالی که در گزارش‌های پیشین دو مولکول در واحد بی‌تقارن وجود دارد. با وجود تفاوت‌های قابل ملاحظه در این شبکه‌های بلوری، برهم‌کنش‌های پیوند هیدروژنی در آنها شباهت زیادی به هم دارند.

افزون بر این، برهم‌کنش پیوند هیدروژنی  $O\cdots C-H\cdots O$  نیز در شبکه بلوری این ترکیب دیده می‌شود که در شکل ۳-الف نشان داده شده است. این برهم‌کنش باعث ایجاد ساختار پلیمری دو بعدی در شبکه بلوری این ترکیب شده است. برهم‌کنش‌های  $\pi\cdots\pi$  و  $C-H\cdots\pi$  نقش بسیار مهمی در پایداری شبکه بلوری ترکیبات دربردارنده حلقه‌های فنیل ایفا می‌کنند [۲۵-۲۳]. به دلیل وجود حلقه فنیل، برهم‌کنش‌های  $\pi$  موجود در شبکه بلوری ترکیب نیز بررسی شدن. در شبکه بلوری این ترکیب، دو برهم‌کنش  $\pi\cdots C-H\cdots\pi$  قابل ملاحظه دیده می‌شود که مشخصه‌های آنها در جدول ۴ و تصویرشان در شکل ۳-ب آورده شده است. در این ترکیب، برهم‌کنش‌های  $\pi\cdots\pi$  بین حلقه‌های فنیل به دلیل فاصله نسبتاً زیاد بین حلقه‌ها و چگونگی قرارگیری آنها در فضای نسبت به هم، از برهم‌کنش‌های  $\pi\cdots\pi$  بسیار ضعیف



شکل ۳ (الف) برهم‌کنش‌های هیدروژنی  $O\cdots C-H\cdots O$  و (ب) نمایش برهم‌کنش‌های  $\pi\cdots\pi$  در شبکه بلوری ۱-فنیل-۱-اتان‌دی‌آل

جدول ۴ اطلاعات برهمکنش‌های  $C-H\cdots\pi$  موجود در ساختار بلوری ۱-فنیل-۱-اتان‌دی‌آل

| $C-H\cdots\pi$                   | $H\cdots\pi (\text{\AA})$ | $C-H\cdots\pi (^{\circ})$ | $C\cdots\pi (\text{\AA})$ |
|----------------------------------|---------------------------|---------------------------|---------------------------|
| $C2A-H2AA\cdots\pi(C4D-C5D)^i$   | ۲,۹۴۵                     | ۱۵۶,۴                     | ۳,۸۱۵(۱۰)                 |
| $C7A-H7A\cdots\pi(C1B-C6B)^{ii}$ | ۲,۹۷۰                     | ۱۵۲,۸                     | ۳,۸۶۸(۱۲)                 |

کدھای تقارنی (i)  $x, I+y, z$ ; (ii)  $I+x, y, z$ .

- [7] Mirkhani V., Tangestaninejad S., Yadollahib B., Alipanah L., “Efficient regio- and stereoselective ring opening of epoxides with alcohols, acetic acid and water catalyzed by ammonium decatungstocerate(IV)”, *Tetrahedron*, 59 (2003) 8213–8218.
- [8] Wang Z., Cui Y.-T., Xu Z.-B., Qu J., “Hot Water-Promoted Ring-Opening of Epoxides and Aziridines by Water and Other Nucleophiles”, *The Journal of Organic Chemistry*, 73 (2008) 2270-2274.
- [9] Fallah-Mehrjardi M., Kiasat A.R., Niknam K., “Nucleophilic ring-opening of epoxides: trends in  $\beta$ -substituted alcohols synthesis”, *Journal of Iranian Chemical Society*, (2018) 1-49.
- [10] Tahriri M., Yousefi M., Tabatabaei M., Mehrani K., Dehghani Ashkezari M., Dusek M., “Crystal structure of  $N'$ -(2-hydroxy-3-methoxy benzylidene)-4-nitro benzenesulfonylhydrazide and 1,2-bis(2-hydroxy-3-methoxy-benzylidenehydrazine) as a co-crystalline compound” *Iranian Journal of Crystallography and Mineralogy*, 26 (2018) 245-250.
- [11] Soleimannejad J., Sedghiniya S., Nasibipour M., “Synthesis -tetramethyl benzidinium)'5,5' and crystal structure of bis(3,3' bis(pyridine-2,6-dicarboxylato) nickelate(II) monohydrate” *Iranian Journal of Crystallography and Mineralogy*, 25 (2017) 673-678.
- [12] Amani A., Derikvand Z., Azadbakht A., Notash B., “Synthesis, characterization and crystal structure of a co-crystal compound including 4,4'-bipyridine, 3-nitrophthalic acid” *Iranian Journal of Crystallography and Mineralogy*, 25 (2017) 207-212.
- [13] Tadjarodi A., Najjari S., Notash B., “Synthesis and crystal structure of a new thiosemicarzone, acenaphthenequinone thiosemicarbazone mono methanol”, *Iranian Journal of Crystallography and Mineralogy*, 22 (2015) 109-114.
- [14] Soleimannejad J., Hooshmand S., Aghabozorg H., Ghadermazi M., Attar-Gharamaleki J., “Crystal Structure of a Cd(II) Polymeric Complex Obtained from a Proton- Transfer Compound Containing Piperazine and Oxalic Acid”, *Iranian Journal of*

#### برداشت

در این پژوهش، ترکیب ۱-فنیل-۱-اتان‌دی‌آل از طریق باز شدن حلقه اپوکسید از پیش ماده اپوکسی استایرن در محیط آبی تهیه شد. مقایسه داده‌های بلورشناسی ترکیب سنتز شده با ساختارهای گزارش شده پیشین نشان می‌دهد که این ترکیب در شبکه بلوری جدیدی متبلور شده و دارای داده‌های بلورشناسی متفاوتی است. بررسی‌های بلورشناسی نشان می‌دهد که مجموعه‌ای از پیوندهای هیدروژنی  $O\cdots O$  و  $C-H\cdots O$  و  $O-H\cdots O$  در شبکه بلوری این ترکیب وجود دارند که باعث ایجاد شبکه پلیمری می‌شوند و نقش مهمی در پایداری شبکه بلوری ترکیب دارند.

#### مراجع

- [1] Wu X., Wang L., Wang S., Chen Y., “Stereoselective introduction of two chiral centers by a single diketoreductase: An efficient biocatalytic route for the synthesis of statin side chains”, *Amino Acids*, 39 (2010) 305–308.
- [2] Gonzalo D.G., “Lipase Catalysed Kinetic Resolution of Racemic 1,2-Diols Containing a Chiral Quaternary Center”, *Molecules*, 23 (2018) 1585-1595.
- [3] Zhou S., Drach J.C., Prichard M.N., Zemlicka J., “(Z)- and (E)-2-(1,2-Dihydroxyethyl) methylenecyclopropane Analogues of 2'-Deoxyadenosine and 2'-Deoxyguanosine. Synthesis of All Stereoisomers, Absolute Configuration, and Antiviral Activity”, *Journal of Medicinal Chemistry*, 52 (2009) 3397–3407.
- [4] Liu B., Yan J., Huang R., Wang W., Jin Z., Zanoni G., Zheng P., Yang S., Chi Y.R., “Kinetic Resolution of 1,2-Diols via NHC-Catalyzed Site-Selective Esterification”, *Organic Letters*, 20 (2018) 3447–3450.
- [5] Rebsdat S., Mayer D., “Ethylene Glycol”, Ullmann's Encyclopedia of Industrial Chemistry, (2005) Weinheim: Wiley-VCH.
- [6] Hollis J.M., Lovas F.J., Jewell P.R., Coudert L.H., “Interstellar Antifreeze: Ethylene Glycol”, *The Astrophysical Journal*, 571 (2002) 59–62.

- [21] Sheldrick G.M., "Crystal structure refinement with SHELXL" *Acta Cryst.*, C71 (2015) 3–8.
- [22] Brandenburg K., Putz H., "Diamond (Version 3.2d), Crystal and Molecular Structure Visualization, Crystal Impact", (2009) Bonn, Germany.
- [23] Mirzaei M., Eshtiagh-Hosseini H., Karrabi Z., Molčanov K., Eydizadeh E., Mague J.T., Bauzád A., Frontera A., "Crystal engineering with coordination compounds of Ni<sup>II</sup>, Co<sup>II</sup>, and Cr<sup>III</sup> bearing dipicolinic acid driven by the nature of the noncovalent interactions" *CrystEngComm*, 16 (2014) 5352–5363.
- [24] Eshtiagh-Hosseini H., Mirzaei M., Zarghami S., Bauzád A., Frontera A., Mague J.T., Habibi M., Shamsipur M., "Crystal engineering with coordination compounds of 2,6-dicarboxy-4-hydroxypyridine and 9-aminoacridine fragments driven by different nature of the face-to-face π···π stacking" *CrystEngComm*, 16 (2014) 1359–1377.
- [25] Eshtiagh-Hosseini H., Mirzaei M., Biabani M., Lippolis V., Chahkandi M., Bazzicalupi C., "Insight into the connecting roles of interaction synthons and water clusters within different transition metal coordination compounds of pyridine-2,5-dicarboxylic acid: experimental and theoretical studies" *CrystEngComm*, 15 (2013) 6752–6768.
- Crystallography and Mineralogy, 16 (2009) 640–645.
- [15] Dehno Khalaji A., Fejfarova K., Dusek M., "Synthesis and crystal structure of Schiff-base compound (E)-4-methoxy-N-(4-hydroxybenzylidene) aniline" *Iranian Journal of Crystallography and Mineralogy*, 21 (2013) 5–10.
- [16] Soleimannejad J., Nazarnia E., "A coordination polymer of Mn (III) with pyridine-2, 3-dicarboxylic acid and 4,4-bipyridine" *Iranian Journal of Crystallography and Mineralogy*, 21 (2013) 59–68.
- [17] Dehno Khalaji A., Fejfarova K., Dusek M., "Synthesis and crystal structure of mercury (II) complex Hg(Meca<sub>2</sub>en)I<sub>2</sub>" *Iranian Journal of Crystallography and Mineralogy*, 22 (2014) 7–12.
- [18] Vladilo G., Hassanali A., "Hydrogen Bonds and Life in the Universe" *Life*, 8 (2018) 1–22.
- [19] Jeffrey G.A., "The role of the hydrogen bond and water in biological processes" *Journal of Molecular Structure*, 322 (1994) 21–25.
- [20] Bikas R., Aleshkevych P., Hosseini-Monfared H., Sanchiz J., Szymczak Lis T., "Synthesis, structure, magnetic properties and EPR spectroscopy of a copper(II) coordination polymer with a ditopic hydrazone ligand and acetate bridges" *Dalton Transactions*, 44 (2015) 1782–1789.